



اندازه‌گیری آزمایشگاهی لزجت دینامیکی نانوپیال هیبریدی روغن روانکار موتور - نانولله کربنی چند جداره - اکسید مس و ارایه نتایج به صورت یک رابطه کاربردی

علیرضا آقایی^۱، حسین خراسانی‌زاده^{۲*}، قنبر علی شیخ‌زاده^۲

۱- دانشجوی دکترا، مهندسی مکانیک، دانشگاه کاشان، کاشان

۲- دانشیار، مهندسی مکانیک، دانشگاه کاشان، کاشان

* کاشان، صندوق پستی ۸۷۳۱۷۵۳۱۵۳

چکیده

در این تحقیق لزجت دینامیکی نانوپیال هیبریدی روغن روانکار موتور (روغن ۵w-50)-نانولله کربنی چند جداره-اکسید مس در کسر حجمی‌های ۰.۰۵، ۰.۱، ۰.۲۵، ۰.۵، ۰.۷۵ و ۱ درصد از نانوذرات و در دماهای ۵، ۱۵، ۲۵، ۳۵، ۴۵ و ۵۵ درجه سلسیوس اندازه‌گیری شده است. این نانوپیال هیبریدی با روش دو مرحله‌ای ساخته شده و برای اندازه‌گیری‌های لزجت از دستگاه ویسکومتر بروکفیلد ساخت کشور امریکا استفاده شده است. مقادیر آزمایشگاهی بدست آمده نشان می‌دهد که با افزایش کسر حجمی نانوذرات لزجت افزایش یافته و همچنین با زیاد شدن دما لزجت کاهش می‌یابد. بر اساس داده‌های آزمایشگاهی بیشترین و کمترین افزایش در لزجت نانوپیال در یک دمای ثابت با افزایش کسر حجمی نانوذرات از ۰.۰۵ تا ۱ به ترتیب ۳۵.۵۲ و ۱۲.۹۲ درصد است که به ترتیب در دماهای ۵۵ و ۱۵ درجه سلسیوس رخ می‌دهد. با توجه به اهمیت وجود لزجت بالاتر روغن موتور در دماهای بالاتر این نتیجه بسیار مهم است. مقادیر اندازه‌گیری شده لزجت این نانوپیال در نوخوشها و دماهای مختلف، نشان می‌دهد که رفتار آن نیوتی است. با استفاده از نتایج بدست آمده و بهمنظور محاسبه و تخمین لزجت نانوپیال در شبیه‌سازی‌ها یک رابطه کاربردی وابسته به دما و کسر حجمی توسعه داده شده است، که تطبیق بسیار خوبی با نتایج آزمایشگاهی دارد.

اطلاعات مقاله

مقاله پژوهشی کامل

دریافت: ۰۸ آبان ۱۳۹۵

پذیرش: ۲۶ آبان ۱۳۹۵

ارائه در سایت: ۲۸ آذر ۱۳۹۵

کلید واژگان:

لزجت

نانوپیال هیبریدی

نانولله کربنی چند جداره

پیال نیوتی

رابطه تجربی

Experimental measurement of the dynamic viscosity of hybrid engine oil -CuO-MWCNT nanofluid and development of a practical viscosity correlation

Alireza Aghaei, Hossein Khorasanizadeh*, Ghanbar Ali Sheikhzadeh

Faculty of Mechanical Engineering, University of Kashan, Kashan, Iran
* P.O.B. 8731753153 Kashan, Iran, khorasan@kashanu.ac.ir

ARTICLE INFORMATION

Original Research Paper
Received 29 October 2016
Accepted 16 November 2016
Available Online 18 December 2016

Keywords:
Viscosity
Hybrid nanofluid
MWCNT
Newtonian fluid
Empirical correlation

ABSTRACT

In this experimental study dynamic viscosity of hybrid engine oil (5w-50)-CuO-MWCNT nanofluid for volume fractions of 0.05, 0.1, 0.25, 0.5, 0.75 and 1 percent of nanoparticles for temperatures of 5, 15, 25, 35, 45, 55 °C has been measured. This hybrid nanofluid has been prepared utilizing the two-step method. For viscosity measurement, the Brookfield viscometer has been used. The experimental measurements indicate that by increasing volume fraction of nanoparticles the viscosity increases; also, by increasing the temperature the viscosity decreases. Based on the experimental results the maximum and minimum viscosity increases with volume fraction increase from 0.05 to 1 at a constant temperature are 35.52 and 12.92 percent, respectively, relating to 55 and 15°C. Measurement of the nanofluid viscosity with different volume fractions, shear rates and temperatures indicates its Newtonian behavior. A new temperature and volume fraction dependent viscosity correlation, developed in this study to be used in numerical simulations, shows very good agreement with experimental results.

کامپوزیت (یهیم چسبیده) در سیال پایه پخش می‌شود. یک نانوپیال

هیبریدی با نانوذراتی خاص دارای خواص ترموفیزیکی متفاوتی نسبت به نانوپیال‌هایی است که با همان نانوذرات ولی به صورت مجزا ساخته شده باشد. تاکنون مطالعات متعددی برای شناخت خواص نانوکامپوزیت‌ها به منظور کاربرد آن‌ها در سنسورهای الکتروشیمیایی و نانوکریستال‌ها انجام شده است، اما در زمینه‌ی خواص نانوپیال‌های هیبریدی مطالعات محدودی انجام شده است. با توجه به خواص مطلوب نانولله‌های کربنی، مانند پایداری شیمیایی

کسر حجمی نانوذرات، دمای نانوذرات، اندازه نانوذرات، نوع سیال پایه و حرکت برآونی نانوذرات بر لزجت هم‌می ا نوع نانوپیال‌ها از جمله نانوپیال‌های هیبریدی تأثیر دارند. نانوپیال هیبریدی یکی از ا نوع جدید نانوپیال‌ها است و به هر نانوپیالی گفته می‌شود که در ساخت آن از بیش از یک نوع نانوذره استفاده شده باشد. نانوپیال‌های هیبریدی به دو شکل تولید می‌شوند: (الف) دو یا چند نانوذره را در سیال پایه پراکنده می‌کنند، (ب) نانوذرات به صورت

۱- مقدمه

Please cite this article using:

A. Aghaei, H. Khorasanizadeh, Gh. A. Sheikhzadeh, Experimental measurement of the dynamic viscosity of hybrid engine oil -CuO-MWCNT nanofluid and development of a practical viscosity correlation, *Modares Mechanical Engineering*, Vol. 16, No. 12, pp. 518-524, 2016 (in Persian)

برای ارجاع به این مقاله از عبارت ذیل استفاده نمایید:

مدل‌ها از دقت کافی برای تخمین لزجت نانوسيال هيبريدی برخوردار نیستند. همچنین آن‌ها گزارش نمودند که با افزایش دما و کسر حجمی لزجت نانوسيال بهتر ترتیب کم و زیاد می‌شود.

در جدول ۱ به بخشی دیگر از مطالعات پیشین در زمینه اندازه‌گیری خواص نانوسيال‌های هيبريدی اشاره شده است. همان‌طور که مشاهده می‌شود در ساخت نانوسيال‌های هيبريدی تاکنون از سه نوع ترکیب، (الف) نانوذرات اکسید فلزی و فلز، (ب) نانوذرات اکسید فلزی و نانولوله‌های کربنی و (ج) نانوذرات فلزی و نانولوله‌های کربنی استفاده شده است. همچنین با بررسی نتیجه مطالعاتی که به اندازه‌گیری لزجت نانوسيال هيبريدی پرداخته‌اند، مشخص می‌شود که لزجت نانوسيال‌های هيبريدی معمولاً مقادیر بین لزجت نانوسيال‌هایی با همان نانوذرات البته به صورت مجزا است [15-8].

بررسی‌های انجام شده نشان می‌دهد که به طور کلی مطالعات در زمینه اندازه‌گیری خواص نانوسيال‌های هيبريدی بسیار کمتر از نانوسيال‌ها است. همچنین محدود مطالعات انجام شده برای خواص نانوسيال‌های هيبريدی نشان می‌دهد، بیشتر ضریب هدایت حرارتی این نوع از نانوسيال‌ها مورد توجه بوده است و مطالعات بسیار کمی برای اندازه‌گیری لزجت آن‌ها انجام شده است. با توجه به بررسی مطالعات پیشین، تاکنون لزجت نانوسيال هيبريدی روغن روانکار موتور (روغن 5w-50) - نانولوله کربنی چند جداره^۱ - اکسید نانوسيال هيبريدی نشده است. در این مطالعه لزجت نانوسيال هيبريدی روغن روانکار موتور (روغن 5w-50) - نانولوله کربنی چند جداره - اکسیدمیس (که در ادامه متن به صورت روغن 5w-50 - نانولوله کربنی چند جداره - اکسیدمیس ذکر خواهد شد) با کمک ویسکومتر در کسرهای حجمی 0.05, 0.1, 0.25, 0.5, 0.75 و 1 درصد از نانوذرات در دماهای 5, 15, 25, 35 و 55 درجه سلسیوس اندازه‌گیری شده است. ابتدا مقادیر اندازه‌گیری شده با پیش‌بینی مدل‌های موجود تئوری و تجربی، ارائه شده در مطالعات پیشین، مقایسه می‌شود و توانایی این مدل‌ها ارزیابی می‌شود. در پایان با توجه به داده‌های بدست آمده آزمایشگاهی یک رابطه کاربردی برای محاسبه لزجت این نانوسيال هيبريدی توسعه داده می‌شود.

2- آزمایش

در این قسمت خصوصیات نانوذرات و روغن مورد استفاده و همچنین نحوه تهیه نانوسيال هيبريدی روغن روانکار موtor (روغن 5w-50) - نانولوله کربنی چند جداره - اکسید مس توضیح داده می‌شود و سپس نحوه اندازه‌گیری لزجت دینامیکی نانوسيال شرح داده می‌شود.

2-1- تهیه نانوذرات و روغن

روغن مورد استفاده روغن موtor 5w-50 SAE تولیدی شرکت بهران است. چگالی این روغن در دمای 15 درجه سلسیوس (gr/cm^3) ۰.۹. شاخص لزجت آن ۹۴ است. دمای ریزش^۲ و دمای اشتعال برای این روغن به ترتیب ۲۱ و ۲۳۶ درجه سلسیوس است. نانوذرات اکسید مس و نانولوله‌های کربنی چند جداره از شرکت امریکایی تحقیقات نانوموادها^۳ تهیه شده‌اند و در شکل ۱ تصویر این نانوذرات نشان داده است. همچنین خصوصیات نانوذرات استفاده شده در جدول ۲ ارائه شده است.

که به جلوگیری از تنهشی و کلخه شدن نانوذرات در نانوسيال کمک می‌کند، و همچنین ضریب رسانایی الکتریکی و حرارتی بالا معمولاً در ساخت نانوسيال‌های هيبريدی یکی از نانوذرات موجود نانولوله کربنی و نانوذرهای انتخابی دیگر یک اکسید فلزی است.

اضافه نمودن نانولوله‌های کربنی به سیال‌های پایه حالت ژله‌ای به آن‌ها می‌دهد، ولی اضافه نمودن نانوذره اکسیدی از حالت ژله‌ای نانوسيال می‌کاهد. نکته دیگری که در موضوع استفاده از نانولوله‌های کربنی به عنوان نانوذرهای ایستگی رعایت شود استفاده از درصدهای کم کسر حجمی آن است تا لزجت افزایش زیادی نداشته باشد. در واقع استفاده از نانوسيال هيبريدی با نانوذره اکسید فلزی به همراه نانولوله‌های کربنی به عنوان یکی دیگر از نانوذرات حاضر، کمک شایانی به حفظ خواص مطلوب حضور نانولوله‌های کربنی مانند رسانایی حرارتی بالا و کاهش اثرات نامطلوب آن مانند افزایش لزجت می‌نماید.

اشرگرف و همکاران [1] در مطالعه‌ای آزمایشگاهی اثر دما و کسر حجمی نانوذرات را بر لزجت نانوسيال هيبريدی آب - اتیلن گلیکول - نانولوله کربنی چند جداره - اکسید سلیسیم بررسی نمودند. بر اساس نتایج آن‌ها این نانوسيال رفتاری غیرنیوتی از خود نشان می‌دهد و لزجت آن با افزایش دما کاهش می‌یابد. بهرامی و همکاران [2] لزجت نانوسيال هيبريدی آب - اتیلن گلیکول - آهن - اکسیدمیس را در کسرهای حجمی ۰.۰۵ تا ۱.۵ درصد و محدوده‌ی دمایی ۲۵ تا ۵۰ درجه سلسیوس اندازه‌گیری کردند. آن‌ها گزارش کردند که این نانوسيال رفتاری غیرنیوتی دارد. لزجت این نانوسيال هيبريدی با افزایش دما یافته و با زیاد شدن کسر حجمی نانوذرات افزایش می‌یابد. افرند و همکاران [3] در یک بررسی آزمایشگاهی رفتار رئولوژیکی نانوسيال هيبريدی اتیلن گلیکول - نقره - اکسید آهن را در کسرهای حجمی ۰.۰۳۷۵ تا ۱.۲ درصد و محدوده‌ی دمایی ۲۵ تا ۵۰ درجه سلسیوس بررسی کردند. بر اساس نتایج آن‌ها این نانوسيال هيبريدی برای کسرهای حجمی بزرگ‌تر از ۰/۶ درصد رفتاری غیرنیوتی دارد و لزجت نانوسيال با افزایش دما کاهش می‌یابد. سلطانی و اکبری [4] لزجت نانوسيال هيبريدی اتیلن گلیکول - اکسیدمنیزیم - نانولوله کربنی چند جداره را در کسرهای حجمی ۰ تا ۱ درصد از نانوذرات و دماهای ۳۰ تا ۶۰ درجه سلسیوس را به صورت تجربی اندازه‌گیری کردند. بر اساس نتایج آن‌ها نانوسيال هيبريدی مورد مطالعه رفتاری نیوتی دارد. همچنین آن‌ها افزایش ۱۶۸ درصدی در لزجت نانوسيال هيبريدی را نسبت به سیال پایه در کسر حجمی ۱ درصد گزارش کردند. ایشان رابطه‌ای نمایی برای توصیف تغییرات لزجت بر حسب دما و کسر حجمی نانوسيال هيبريدی ارایه نمودند. کومار و همکاران [5] در مطالعه‌ای آزمایشگاهی لزجت نانوسيال هيبريدی روغن - روی - مس را در کسرهای حجمی ۰ تا ۰.۵ درصد از نانوذرات اندازه‌گیری کردند. بر اساس نتایج آن‌ها لزجت نانوسيال هيبريدی بررسی شده با افزایش کسر حجمی نانوذرات زیاد می‌شود. در یک مطالعه اخیر اسدی و اسدی [6] به صورت آزمایشگاهی لزجت نانوسيال هيبريدی روغن - نانولوله کربنی چند جداره - اکسید روی را در محدوده دمایی ۵ تا ۵۵ درجه سلسیوس و کسرهای حجمی ۰ تا ۱ درصد از نانوذرات اندازه‌گیری نمودند. بر اساس نتایج آن‌ها لزجت نانوسيال هيبريدی می‌شود. از طرف دیگر زیاد شدن کسر حجمی نانوذرات باعث افزایش حداقل ۴۵ درصدی لزجت نانوسيال نسبت به لزجت سیال پایه می‌شود. همچنین در مطالعه اخیر دیگری، افرند و همکاران [7] به صورت تجربی اثر دما و کسر حجمی را بر لزجت نانوسيال هيبريدی روغن - SAE40 - نانولوله کربنی چند جداره - اکسید سلیسیم بررسی نمودند. آن‌ها نتایج بدست آمده را با پیش‌بینی مدل‌های موجود مقایسه نموده و نتیجه گرفتند این

¹ Multi Walled Carbon Nanotube

²Pour point

³ US Research Nanomaterials

جدول 2 خصوصیات اکسیدمیس و نانولوله‌های کربنی چند جداره [17]

Table 2 Properties of CuO and MWCNTs [17]

نانولوله‌های کربنی چند جداره	اکسیدمیس	نانولوله‌های کربنی چند جداره
95%	99%	خلوص نانوذرات
سیاه	سیاه	رنگ
50 μm طول		
5-15 nm قطر خارجی	40 nm اندازه	
3-5 nm قطر داخلی		
3000 (W/mK) ضریب رسانایی حرارتی (k)	76.5 (W/mK)	
2.1 (g/cm³) چگالی (ρ)	6.32 (g/cm³)	
233 (m²/g) مساحت سطح مخصوص (SSA)	20 (m²/g)	

قرار گرفته است.

2-3- اندازه‌گیری لزجت دینامیکی

برای اندازه‌گیری لزجت نانوسیال از دستگاه ویسکومتر CAP2000+ ساخت شرکت بروکفیلد² امریکا استفاده شده است. لزجت نانوسیال در کسرهای حجمی بروکفیلد² امریکا استفاده شده است. لزجت نانوذرات و برای محدوده دمایی 5 تا 55 درجه سلسیوس (با گام هر 10 درجه) اندازه‌گیری شده است. در ابتدا ویسکومتر روغن در دمای اتاق کالیبره شده است. آزمایش‌ها برای محدوده نزدیکی 667 تا 1/s 7998 انجام شده است. دقت ویسکومتر $\pm 2\%$ درصد بیشینه مقدار قابل اندازه‌گیری توسط ویسکومتر است. همه آزمایش‌ها در هر کسر حجمی و دمای مشخص در نزدیکی برش مختلف تکرار شده‌اند.

3- نتایج

در این بخش ابتدا رفتار رئولوژی نانوسیال از نظر نیوتونی بودن بررسی می‌شود. سپس مقادیر لزجت اندازه‌گیری شده نانوسیال هیبریدی در کسرهای حجمی و دمایی مختلف گزارش می‌شود. در مرحله بعد مقادیر آزمایشگاهی لزجت با پیش‌بینی مدل‌های تئوری و تجربی موجود مقایسه و توانایی این مدل‌ها ارزیابی می‌شود. در پایان یک رابطه برای تخمین لزجت نانوسیال هیبریدی در کسرهای حجمی و دمایی مختلف، که برای کاربردهای مختلف از جمله انجام شبیه‌سازی‌ها توسعه داده شده است، ارائه می‌شود.

3-1- رفتار رئولوژی نانوسیال

اگر رابطه بین تنش برشی و نزدیکی برش در سیالی به صورت خطی باشد آن سیال را نیوتونی می‌گویند و یک سیال نیوتونی از رابطه لزجت نیوتون (رابطه (2)) تبعیت می‌کند.

$$\tau = \mu \gamma \quad (2)$$

در این رابطه μ لزجت، γ نزدیکی برش و τ تنش برشی است. دانستن رفتار رئولوژی نانوسیال برای کاربردهای حرارتی و شبیه‌سازی‌های عددی مفید است. برای درک رفتار نیوتونی یا غیرنیوتونی یک سیال بایستی لزجت آن در نزدیکی برش‌های مختلف اندازه‌گیری شود. در این مطالعه برای نزدیکی برش‌های 667 تا 1/s در دمایا و کسرهای حجمی مختلف آزمایش انجام شده است و به عنوان یک نمونه در شکل 2 تنش برشی نانوسیال بر حسب نزدیکی برش در کسر حجمی 1 درصد (بزرگ‌ترین کسر حجمی) در دمایای مختلف رسم شده است. همانطور که مشاهده می‌شود رابطه خطی بین تنش برشی و نزدیکی برش برقرار است و در نتیجه این نانوسیال رفتاری نیوتونی دارد.

² Brookfield

جدول 1 برخی مطالعات در زمینه خواص ترموفیزیکی نانوسیال‌های هیبریدی

Table 1 Studies on thermophysical properties of hybrid nanofluids

سیال پایه	نانوذرات	نویسنده
آب	مس- اکسید آلومینیم	سورش و همکاران [8]
آب	نانولوله کربنی- اکسید آلومینیم	عباسی و همکاران [9]
آب	مس- اکسید مس	نین و همکاران [10]
آب	نقره- اکسید تیتانیوم	بتمونخ و همکاران [11]
آب	چن و همکاران [12]	- اکسید آهن
آب	همت اسفه و همکاران [13]	نقره- اکسید منزیم
روغن	بوٹا و همکاران [14]	نقره- کربید سلیسیم
اتیلن گلیکول	نقره- نانولوله کربنی [15]	مانخایار و همکاران [15]

2-2- آماده‌سازی نانوسیال هیبریدی

نانوسیال در کسرهای حجمی 0.05, 0.1, 0.25, 0.5, 0.75 و 1 درصد از نانوذرات آماده شده‌اند. محاسبه کسر حجمی کلی نانوذرات موجود در نانوسیال هیبریدی توسط رابطه (1) انجام شده است. در این رابطه φ کسر حجمی نانوذرات بر حسب درصد، m جرم و ρ چگالی است. جرم نانوذرات اکسیدمیس و نانولوله کربنی چند جداره با ترازوی الکترونیکی آزمایشگاهی AND مدل GF 600 با دقت 1 mg انجام شده است.

$$\varphi = \frac{\left(\frac{m}{\rho}\right)_{\text{CuO}} + \left(\frac{m}{\rho}\right)_{\text{MWCNT}}}{\left(\frac{m}{\rho}\right)_{\text{Oil}} + \left(\frac{m}{\rho}\right)_{\text{CuO}} + \left(\frac{m}{\rho}\right)_{\text{MWCNT}}} \times 100 \quad (1)$$

برای تهییه نانوسیال از روش دو مرحله‌ای استفاده شده است. در این روش نانوذراتی که جداگانه تولید شده‌اند، با روش‌های مناسبی در سیال پایه پراکنده می‌شوند. علت استفاده از روش دو مرحله‌ای ساده‌تر و ارزان‌تر بودن آن نسبت به روش یک مرحله‌ای است. همچنین تجربه نشان داده است که برخلاف روش تک مرحله‌ای، روش دو مرحله‌ای برای تهییه نانوسیال‌ها با نانوذرات اکسیدی مناسب است [16]. اندازه و چگونگی توزیع نانوذرات در سیال پایه نقشی اساسی در تعیین رفتار حرارتی و هیدرولیکی نانوسیال دارد. به همین دلیل مهم‌ترین موضوعی که در روش دو مرحله‌ای باید در نظر داشت رفع مشکل کلوخه‌شدن و چسبندگی نانوذرات است. برای این منظور نانوسیال به مدت سه ساعت با کمک همزن مغناطیسی، چرخانده شده است.

نام دستگاه همزن UP400S و ساخت شرکت هیسلر¹ آلمان است. وزن این وسیله 3.2 کیلوگرم با ولتاژ 230 ولت تکفاز و فرکانس 50 تا 60 هرتز و حداکثر جریان مصرفی 4 آمپر است. نانوسیال به مدت 7 ساعت در مععرض امواج فرماحتوت توسط دستگاهی با توان 400 و با فرکانس 24 کیلوهertz

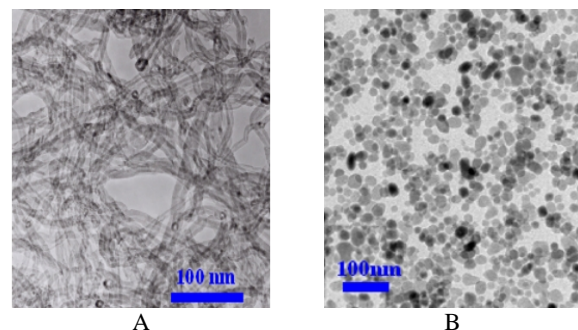


Fig. 1 TEM micrographs of (a) CuO nanoparticles, (b) MWCNTs

شکل 1 تصاویری از: (a) نانوذرات اکسید مس و (b) نانولوله‌های کربنی چند جداره

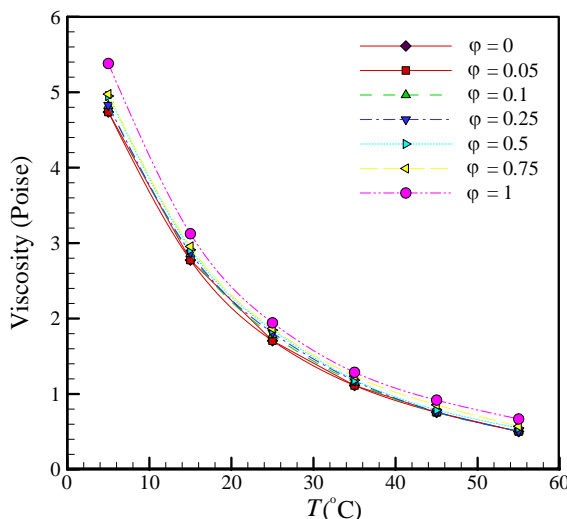
¹ Hielscher

و از این نظر نیز مقاومت بیشتری بین لایه‌های سیال در برابر حرکت ایجاد می‌شود. باستی توجه داشت که افزایش لزجت روغن موتور هر چند باعث نیاز به توان پمپاژ بیشتر می‌شود، ولی همواره اثر منفی بر عملکرد موتور نخواهد داشت. بنا به پیشنهاد انجمن مهندسان خودرو^۱ در مناطق گرم‌سیری باستی از روغن موتور با لزجت بالاتر استفاده شود تا روغن در دماهای بالا نیز کارکرد مطلوب خود را حفظ کند. درنتیجه استفاده از نانو روغن با کسر حجمی بالاتر برای این مناطق یک پیشنهاد مناسب است. از طرف دیگر هنگامی که فلز با فلز در جریان کارکرد موتور تماس پیدا می‌کند (مثل برخورد رینگ با دیواره سیلندر و غیره) وجود نانوذرات در روغن می‌تواند به عنوان عاملی در برابر ساییدگی این قطعات متحرک عمل نماید. بر اساس داده‌های تجربی این تحقیق، بیشترین و کمترین افزایش لزجت نانوسیال در یک دمای ثابت با زیاد شدن کسر حجمی نانوذرات از ۰.۰۵ تا ۱ به ترتیب ۳۵.۵۲ و ۱۲.۹۲ درصد است که در دماهای ۵۵ و ۱۵ درجه سلسیوس رخ می‌دهد. افزایش بیشتر لزجت با ازدیاد کسر حجمی نانوذرات در دماهای بالا، یک مزیت برای استفاده از این نانوسیال به عنوان روغن موتور در مناطق گرم‌سیری است. همچنین نکته مثبت دیگر اینست که افزایش نسبی لزجت نانوسیال با زیاد شدن کسر حجمی در دماهای پایین کمتر از دماهای بالا است. با افزایش دما نیروهای بین مولکولی ذرات روغن تضعیف شده و در نتیجه نانوذرات می‌توانند تماس بیشتری با ذرات روغن داشته و توزیع مناسبتری در سرتاسر آن پیدا نمایند. وجود نانوذرات در همه لایه‌های روغن به دلیل توزیع مناسب آن (همگنی)، افزایش لزجت روغن را موجب می‌شود.

۳-۲- تغییر لزجت نانوسیال هیبریدی با دما

برای مشاهده بهتر تغییر لزجت نانوسیال با دما، در شکل ۴ تغییر لزجت دینامیکی نانوسیال هیبریدی با دما در کسرهای حجمی مختلف نشان داده است. از این شکل مشاهده می‌شود که در همه کسرهای حجمی با زیاد شدن دما لزجت نانوسیال کاهش می‌یابد. این رفتار در دیگر مطالعات نیز گزارش شده است [۴-۶].

علت این رفتار کم شدن نیروی واندروالس بین مولکولی با زیاد شدن دما و در نتیجه کاهش مقاومت سیال در برابر جاری شدن است. در کسرهای



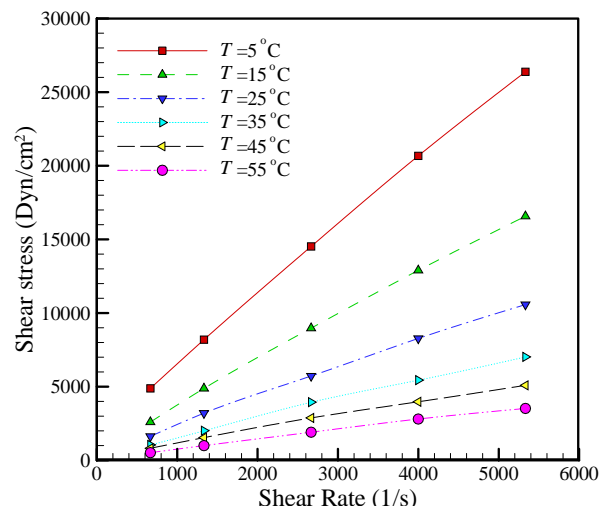
شکل ۴ تغییر لزجت دینامیکی نانوسیال هیبریدی با دما در کسر حجمی‌های مختلف

^۱ Society of Automotive Engineers (SAE)

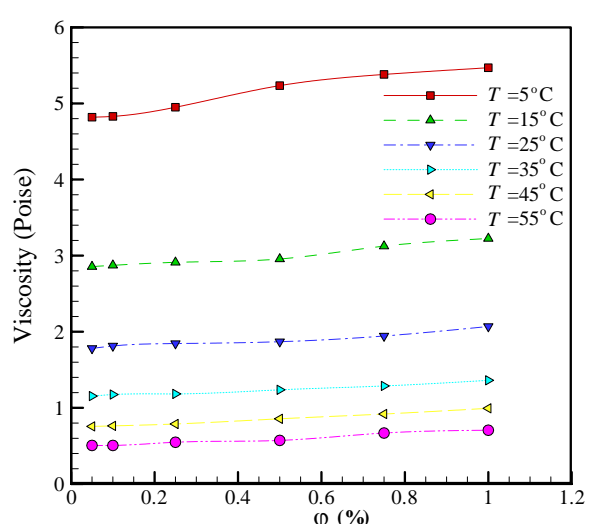
۳-۲- تغییر لزجت نانوسیال هیبریدی با کسر حجمی نانوذرات

در شکل ۳ تغییر لزجت دینامیکی نانوسیال هیبریدی با افزایش کسر حجمی نانوذرات در دماهای مختلف نشان داده شده است. همان‌طور که مشاهده می‌شود با افزایش کسر حجمی نانوذرات در همه دماها لزجت نانوسیال هیبریدی می‌یابد.

این رفتار برای لزجت نانوسیال را محققین دیگر نیز گزارش نموده‌اند [۷-۸]. لزجت مقاومت سیال در برابر جاری شدن است. در مایعات لزجت به دلیل نیروهای واندروالس بین مولکول‌ها است و با افزایش این نیرو لزجت افزایش می‌یابد. هنگامی که نانوذرات اکسیدمیس و نانولوله‌های کربنی چند جداره به روغن اضافه شوند تماس و نیروهای بین ذرات روغن و نانوذرات بیشتر شده و باعث افزایش مقاومت سیال در برابر جاری شدن، یعنی افزایش لزجت، می‌شود. همچنین با زیاد شدن کسر حجمی نانوذرات، به دلیل افزایش نیروهای مولکولی بین نانوذرات امکان خوشای شدن آن‌ها بیشتر شده



شکل ۲ تنیش برشی نانوسیال بر حسب نیخ برش در دماهای مختلف برای کسر حجمی ۱ درصد



شکل ۳ تغییرات لزجت دینامیکی نانوسیال هیبریدی با کسر حجمی نانوذرات

اندازه‌گیری شده از پیش‌بینی مدل‌های موجود باشد. بایستی توجه داشت که مدل‌های موجود یا برای حضور تنهای نانوذرات کروی و یا برای حضور تنهای نانوذرات استوانه‌ای در سیال پایه هستند و هیچ کدام از آن‌ها مربوط به وجود همزمان نانوذرات کروی و استوانه‌ای در سیال پایه نیستند.

۵-۳- ارائه یک رابطه کاربردی برای پیش‌بینی لزjet نانوپیال هیبریدی روغن ۵w-50- نانونوله کربنی چند جداره - اکسید مس
مقایسه‌ای که بین مقادیر آزمایشگاهی لزjet نانوپیال هیبریدی روغن ۵w-50- نانونوله کربنی چند جداره - اکسید مس با پیش‌بینی‌های مدل‌های موجود انجام شد، نشان داد که مدل‌های موجود برای تخمین لزjet این نوع نانوپیال مناسب نیستند. به همین دلیل در این تحقیق با استفاده از داده‌های آزمایشگاهی یک رابطه جدید و کاربردی برای پیش‌بینی لزjet نانوپیال مورد مطالعه توسعه داده شده است. این رابطه دارای R^2 مساوی ۰.۹۹۷ و عبارت است از:

$$\mu_{nf} = a + b\varphi + cT + d\varphi^2 + eT^2 + f\varphi^3 + gT^3 \quad (3)$$

$0 < \varphi < 1 \quad (\%) \quad 5^\circ C < T < 55^\circ C$

μ در این رابطه لزjet (بر حسب پویز (p)، φ کسر حجمی نانوذرات و T دما بر حسب درجه سلسیوس است. nf معروف نانوپیال است و a تا g همه مقادیر ثابتی هستند که در جدول ۳ ارائه شده‌اند. متاسفانه برای روابط پیشنهاد شده در چند مطالعه، که در آن‌ها لزjet نانوپیال به صورت نسبی ارایه شده است [4]. مشخص نشده است لزjet سیال پایه در چه دمایی اندازه‌گیری شده است. به منظور سهولت استفاده و شفافیت و جلوگیری از احتمال اشتباه، در رابطه (3) از نمایش لزjet به صورت نسبی (لزjet نانوپیال نسبت به سیال پایه) اجتناب شده است. با این وجود در شکل ۶ مقادیر آزمایشگاهی لزjet نسبی در دو دمای ۵ و ۵۵ درجه سلسیوس با مقادیر بدست آمده از رابطه (3) در دو نمودار جداگانه مقایسه شده‌اند. نمودارهای این شکل نشان می‌دهند که استفاده از رابطه توسعه‌داده شده برای تخمین لزjet نانوپیال هیبریدی روغن ۵w-50- نانونوله کربنی چند جداره - اکسید مس در مطالعات آینده از جمله در شبیه‌سازی‌ها از دقت کافی برخوردار است.

۶-۳- تحلیل انحراف

به منظور مقایسه داده‌های آزمایشگاهی با نتایج بدست آمده از رابطه پیشنهادی برای تخمین لزjet درصد انحراف داده‌ها از مقادیر آزمایشگاهی با استفاده از رابطه (4) محاسبه شده است.

$$dev = \frac{\mu_{exp} - \mu_{pred}}{\mu_{exp}} \times 100 \quad (4)$$

در شکل ۷ درصد انحراف مقادیر بدست آمده از رابطه نسبت به مقادیر آزمایشگاهی در کسرهای حجمی و دمایی مختلف نشان داده شده است. هر اندازه که مقادیر در این نمودار به خط گذرنده از صفر نزدیکتر باشند دقت رابطه تخمین زننده بیشتر است. بیشترین مقدار انحراف پیش‌بینی رابطه نسبت به داده‌های آزمایشگاهی ۰.۹ درصد است که در دمای $55^\circ C$ و برای کسر حجمی ۰.۰۵ رخ می‌دهد. با توجه به شکل ۷ مشخص می‌شود که رابطه پیشنهادی دارای دقت مناسبی برای تخمین لزjet نانوپیال هیبریدی است.

۴- نتیجه‌گیری

در این تحقیق لزjet نانوپیال هیبریدی روغن ۵w-50- نانونوله کربنی - اکسید مس در کسرهای حجمی ۰.۰۵، ۰.۱، ۰.۲۵، ۰.۵، ۰.۷۵ و ۱ درصد از

حجمی بالاتر انحنای نمودارها بیشتر است. این رفتار لزjet نانوپیال به این دلیل است که در کسرهای حجمی بالاتر نانوذرات می‌توانند تعامل بیشتری با یکدیگر داشته و در نتیجه امکان کلوخه‌ای شدن آن‌ها افزایش می‌یابد.

با کلوخه‌ای شدن نانوذرات، و بدلاً ای که قبل از شرح داده شد، لزjet زیاد می‌شود. بر اساس داده‌های تجربی پیشترین و کمترین کاهش در لزjet نانوپیال در یک کسر حجمی ثابت با زیاد شدن دما از ۵ تا ۵۵ درجه سلسیوس به ترتیب ۸.۵ و ۶.۵ برابر است که در کسرهای حجمی ۰.۰۵ و ۱ درصد از نانوذرات رخ می‌دهد. آگاهی از پیشینه و کمینه تغییر لزjet یک روغن برای کاربردهای مختلف آن در صنعت و به طور خاص موتورهای احتراق داخلی اهمیت دارد.

۴-۳- مقایسه داده‌های تجربی با پیش‌بینی چند مدل موجود

در شکل ۵ مقادیر اندازه‌گیری شده لزjet نانوپیال و پیش‌بینی چند مدل موجود به صورت نسبی (نسبت به سیال پایه روغن) در دمای ۲۵ درجه سلسیوس ارائه و مقایسه انجام شده است. مدل‌های انتخابی شامل مدل تئوری و مشهور برینکمن [18]، که در اکثر مطالعات مربوط به نانوپیال‌ها از آن استفاده شده است، مدل تجربی بویو و همکاران [19]، مدل وکبیلی نژاد و درانی [20] مخصوص وجود نانولوله‌های کربنی در روغن و مدل افرند و همکاران [7]، مبنی بر داده‌ای تجربی برای نانوپیال هیبریدی با سیال پایه روغن، می‌شوند. همان‌طور که ملاحظه می‌شود همه مدل‌های بررسی شده مقدار لزjet تخمینی را از لزjet اندازه‌گیری شده نانوپیال هیبریدی روغن ۵w-50- نانونوله کربنی چند جداره - اکسید مس کمتر پیش‌بینی نموده‌اند. در این خصوص نزدیک‌ترین پیش‌بینی مربوط به مدل برینکمن است؛ با این وجود بیشترین و کمترین اختلاف مربوط به پیش‌بینی این مدل نسبت به داده‌های آزمایشگاهی ۱۸.۳ و ۴.۳ درصد و به ترتیب مربوط به کسرهای حجمی ۰.۰۵ و ۱ است. در مجموع هیچ‌کدام از مدل‌های موجود برای پیش‌بینی لزjet نانوپیال هیبریدی مورد مطالعه مناسب نیستند.

سطح بیشتر نانولوله‌های کربنی که منجر به تماس‌های سطحی بیشتر با دیگر مولکول‌ها می‌شود و نوع تعامل مولکولی بین نانونولله‌های کربنی چند جداره و نانوذرات اکسید مس می‌تواند علت بیشتر بودن مقادیر لزjet

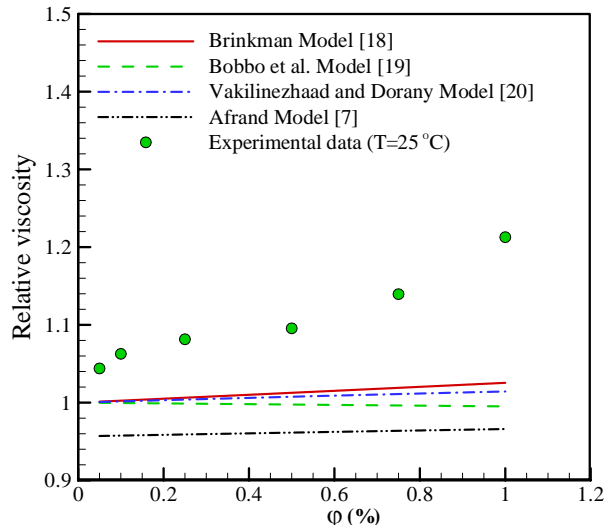


Fig. 5 The measured relative viscosity and predictions of some existing models at $25^\circ C$

شکل ۵ لزjet نسبی اندازه‌گیری شده نانوپیال و پیش‌بینی چند مدل موجود در دمای ۲۵ درجه سلسیوس

جدول 3 ضرایب ثابت در رابطه توسعه داده شده (3)

Table 3 Constant values in the proposed correlation (3)

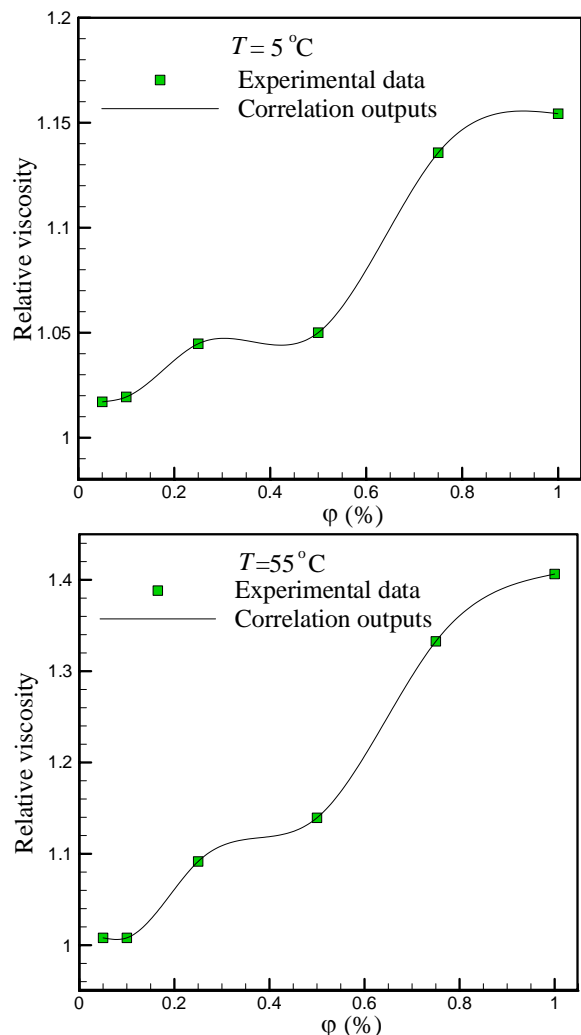
g	f	e	d	c	b	a
-0.00005	0.092	0.006	-0.148	-0.314	0.416	6.326

شده است. مقادیر آزمایشگاهی نشان می‌دهد که با افزایش کسر حجمی نانوذرات لزjet نانوسیال هیبریدی زیاد می‌شود. همچنین با افزایش دما لزjet کاهش می‌یابد. بر اساس داده‌های تحریبی بیشترین و کمترین افزایش در لزjet نانوسیال در یک دمای ثابت با زیاد شدن کسر حجمی نانوذرات از 15 تا 1 به ترتیب 35.52 و 12.92 درصد است که در دماهای 55 و 15 درجه سلسیوس رخ می‌دهد. همچنین بیشترین و کمترین کاهش در لزjet نانوسیال در یک کسر حجمی ثابت با زیاد شدن دما از 5 تا 55 درجه سلسیوس به ترتیب 8.5 و 6.5 برابر است که در کسرهای حجمی 0 و 1 درصد از نانوذرات رخ می‌دهد. مقادیر اندازه‌گیری شده لزjet در نزدیکی مخلوط نانوسیال هیبریدی رفتاری نیوتونی دارد. مقایسه مقادیر لزjet با مدل‌های موجود نشان داد که این مدل‌ها برای محاسبه لزjet نانوسیال هیبریدی مناسب نیستند. به همین دلیل یک رابطه جدید مبتنی بر نتایج آزمایشگاهی برای محاسبه و پیش‌بینی لزjet نانوسیال هیبریدی روغن 5w-50- نانولوله کربنی - اکسید مس ارائه و توانمندی آن بررسی و تأیید شد.

5- مراجع

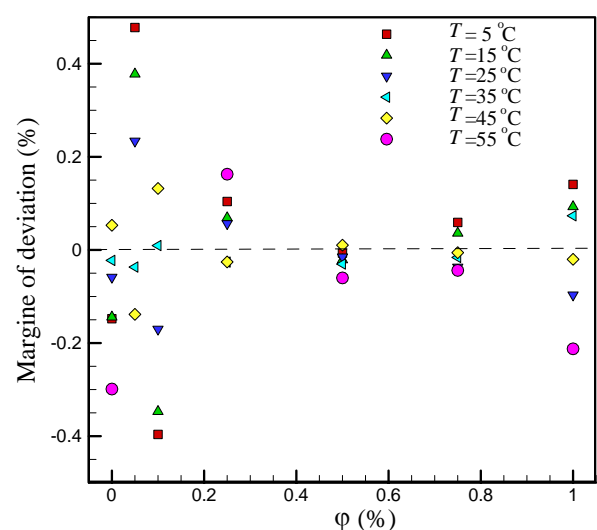
- H. Eshgarf, M. Afrand, M. Hemmat Esfe, Experimental investigation of the effects of temperature and nanoparticles volume fraction on the viscosity of non-Newtonian hybrid nanofluid. *Modares Mechanical Engineering*, Vol. 16, No. 3, pp. 98-104, 2016. In Persian.
- M. Bahrami, M. Akbari, A. Karimipour, M. Afrand, An experimental study on rheological behavior of hybrid nanofluids made of iron and copper oxide in a binary mixture of water and ethylene glycol: NonNewtonian behavior, *Experimental Thermal and Fluid Science*, Vol. 79, No. 5, pp. 231-237, 2016.
- M. Afrand, D. Toghraie, B. Ruhani, Effects of temperature and nanoparticles concentration on rheological behavior of Fe3O4-Ag/EG hybrid nanofluid: An experimental study, *Experimental Thermal and Fluid Science*, Vol. 77, No. 2, pp. 38-44, 2016.
- O. Soltan, M. Akbari, Effects of temperature and particles concentration on the dynamic viscosity of MgO MWCNT/ethyleneglycol hybrid nanofluid: Experimental study, *Physica E: Low-dimensional Systems and Nanostructures*, Vol. 84, No. 3, pp. 564-570, 2016.
- M. S. Kumar, V. Vasu, A. Venu Gopa, Thermal conductivity and rheological studies for Cu-Zn hybrid nanofluids with various basefluids, *Journal of the Taiwan Institute of Chemical Engineers*, Vol. 66, No. 8, pp. 321-327, 2016.
- M. Asadi, A. Asadi, Dynamic viscosity of MWCNT/ZnO-engine oil hybrid nanofluid: An experimental investigation and new correlation in different temperatures and solid concentrations. *International Communications in Heat and Mass Transfer*, Vol. 76, No. 5, pp. 41-45, 2016.
- M. Afrand, K. Nazari Najafabadi, M. Akbari, Effects of temperature and solid volume fraction on viscosity of SiO₂-MWCNTs/SAE40 hybrid nanofluid as a coolant and lubricant in heat engines. *Applied Thermal Engineering*, Vol. 102, pp. 45-54, 2016.
- S. Suresh, K. Venkitaraj, P. Selvakumar, M. Chandrasekar, Effect of Al₂O₃-Cu/water hybrid nanofluid in heat transfer. *Experimental Thermal Fluid Science*, Vol. 38, No. 3, pp. 54-60, 2012.
- S. M. Abbasi, A. Rashidi, A. Nemati, K. Arzani, The effect of functionalisation method on the stability and the thermal conductivity of nanofluid hybrids of carbon nanotubes/gamma alumina. *Ceram International*, Vol. 39, No. 4, pp. 3885-3891, 2013.
- M. J. Nine, B. Munkhbayar, M. S. Rahman, H. Chung, H. Jeong, Highly productive synthesis process of well dispersed Cu₂O and Cu/Cu₂O nanoparticles and its thermal characterization. *Material Chemistry Physics*, Vol. 141, No.2, pp. 636-642, 2013.
- M. Batmunkh, M. R. Tanshen, M. J. Nine, M. Myekhlai, H. Choi, H. Chung, Thermal conductivity of TiO₂ nanoparticles based aqueous nanofluids with an addition of a modified silver particle. *Indian Engineering Chemistry Research*, Vol. 53, No. 20, pp. 8445-8451, 2014.
- L. Chen, M. Cheng, D. Yang, L. Yang, Enhanced thermal conductivity of nanofluid by synergistic effect of multi-walled carbon nanotubes and Fe₂O₃ nanoparticles, *Applied Mechanics Material*, Vol. 548-549, No. 3, pp. 118-123, 2014.
- M. Hemmat Esfe, A. A. Abbasian Arani, M. Rezaie, W. M. Yan, A. Karimipour, Experimental determination of thermal conductivity and

نانوذرات و در دماهای 5, 15, 25, 35, 45 و 55 درجه سلسیوس اندازه‌گیری



شکل 6 مقادیر آزمایشگاهی لزjet نانوسیال هیبریدی و مقادیر به دست آمده از رابطه توسعه‌داده شده در دو دمای مختلف

شکل 6 مقادیر آزمایشگاهی لزjet نانوسیال هیبریدی و مقادیر به دست آمده از رابطه توسعه‌داده شده در دو دمای مختلف



شکل 7 درصد انحراف مقادیر حاصل از رابطه پیشنهادی از داده‌های آزمایشگاهی

شکل 7 درصد انحراف مقادیر حاصل از رابطه پیشنهادی از داده‌های آزمایشگاهی

- glycol based CuO nanofluid for heat transfer applications. *World Academy of Science Engineering and Technology*, Vol. 59, No. 12, pp. 440–446, 2011.
- [17] US Research Nanomaterials, Accessed on 27 August 2016, <http://www.us-nano.com/inc/sdetail/218>
- [18] H. C. Brinkman, The viscosity of concentrated suspensions and solution. *Journal of Chemical Physics*, Vol. 20, No. 10, pp. 571–581, 1952.
- [19] S. Bobbo, L. Fedele, A. Benetti, L. Colla, M. Fabrizio, C. Pagura, Viscosity of water based SWCNH and TiO₂nanofluids. *Experimental Thermal and Fluid Science*, Vol. 36, No. 12, pp. 65–71, 2012.
- [20] G. Vakili-Nezaad, A. Dorany, Effect of single-walled carbon nanotube on the viscosity of lubricants. *Energy Procedia*, Vol. 14, No. 3, pp. 512–517, 2012.
- dynamic viscosity of Ag–MgO/water hybrid nanofluid. *International Communications in Heat and Mass Transfer*, Vol. 66, No. 16, pp. 189–95, 2015.
- [14] S. S. Botha, P. Ndungu, B. J. Bladergroen, Physicochemical properties of oil-based nanofluids containing hybrid structures of silver nanoparticles supported on silica. *Industrial & Engineering Chemistry Research*, Vol. 50, No. 6, pp. 3071–3077, 2011.
- [15] B. Munkhbayar, Md. R. Tanshen, J. Jeoun, H. Chung, H. Jeong, Surfactant-free dispersion of silver nanoparticles into MWCNT-aqueous nanofluids prepared by one-step technique and their thermal characteristics. *Ceram International*, Vol. 39, No. 13, 6415–6425, 2013.
- [16] M. T. Naik, L. S. Sundar, Investigation into thermophysical properties of